



각 Mode 는 Eigenvalue( $k_n$ ) 에 의해 특징적인 Depth-Amplitude Distribution과 전달수도, 감쇠등으로 구분된다. 매질에 의한 감쇠를 고려하면 음파가 원거리의 수신기( $r, z$ )에 도달할 경우의 음압 손실(db)은 다음과 같다.

$$PL(r, z) = -10 \log_{10} \left\{ \frac{2}{\pi} \frac{1}{r} \left| \sum_n k_n^{-1/2} Un(z_0) \cdot Un(z) \cdot e^{ik_n r} \cdot e^{-\delta_n r} \right|^2 \right\} \dots\dots(2)$$

여기에서  $k_n$  은 각 Mode 의 Eigenvalue 이며  $Un(z)$  는 파동함수의 정규성을 이용한 Normalized Eigenfunction 으로서 Depth(z) Dependent Homogeneous 파동 방정식의

$$\frac{d^2 Un(z)}{dz^2} + \left\{ \frac{\omega^2}{c^2(z)} - k_n^2 \right\} \cdot Un(z) = 0 \dots\dots(3)$$

일반해에다 음향학적 경계조건을 적용하여 풀이한 해이다.

음파 전달 환경으로서의 매질을 음향학적 유체층으로 가정하면 경계조건은, 해저면( $z=0$ )에서의 음압(Acoustic Pressure)은 0이고 - 식(4), 각 매질층( $i^{th}$  Layer) 의 경계면( $z=Hi^-$ ,  $z=Hi^+$ )에서는 수직방향으로의 포텐셜 변화(Displacement Potential)와 음압이 연속이다. - 식(5), 식(6).

$$Un(z) \Big|_{z=0} = 0 \dots\dots(4)$$

$$\frac{dUn(z)}{dz} \Big|_{z=Hi^-} = \frac{dUn(z)}{dz} \Big|_{z=Hi^+} \dots\dots(5)$$

$$\rho(z) Un(z) \Big|_{z=Hi^-} = \rho(z) Un(z) \Big|_{z=Hi^+}$$

$\rho$  : 밀도(density)  $\dots\dots(6)$

또한  $e^{-\delta_n r}$  은 수평거리의 따른 음압감쇠를 나타낸다. 수직권분포인 각 매질층(1)에 의한 감쇠율( $Ei$  Nepers/km)을 고려하여 파동 전달상수를 복소수로 두면

$$K(z) = \frac{\omega}{c(z)} + iEi, Ei \ll \frac{\omega}{c(z)} \dots\dots(7)$$

$\omega$  : Angular frequency( $2\pi f$ )  
 $Hi \leq z \leq Hi+1$

Mode Attenuation  $\delta_n$  은 복소수인 Eigenvalue 의 Imaginary Part 로서 다음의 식으로 표현된다.<sup>1)</sup>

$$k_n = k_n + i\delta_n \dots\dots(8)$$

$$\delta_n = \sum_i Ei \cdot \gamma_{n,i} \dots\dots(9)$$

$$\gamma_{n,i} = \frac{1}{k_n} \int_{Hi}^{Hi+1} \frac{\rho(z)}{c(z)} \cdot |Un(z)|^2 dz \dots\dots(10)$$

즉, Mode Attenuation 은 수직적으로 음속  $c(z)$ , 밀도  $\rho(z)$  분포등이 다른 각 매질층에서 Eigenvalue 와 이에 따른 Eigenfunction  $|Un(z)|^2$  의 적분으로 산출되며 매질층의 음향학적 특성에 의해 달라진다.

Hamilton<sup>2)</sup> 등에 의하면 해저 퇴적물에서의 음파 감쇠는 대체로

$$\alpha \text{ dB/km} = \beta \cdot f_{Hz}^m, m = 1$$

$$= (20 \log e) \cdot E_{\text{Nepers/km}} \dots\dots(11)$$

의 관계를 가진다고 하였다.

여기서  $\beta$  (dB/km/Hz) 는 해저 퇴적물의 공극률(Porosity), 밀도(Density), 입자크기(Grainsize), 음속분포등에 상호 관련된 음파 감쇠상수로써 퇴적물의 종류(Sediment Type)에 따라 대체로 0.07-0.9의 범위에 속하며 주파수에 작용하는  $m$  은 주파수 영역과 퇴적물류에 따라 0.5-2.0의 범위로서 차이를 보이나 대체로 경우 1에 접근한다.

실지로 수층에서의 감쇠는 거의 없으므로( $Ew=0$ ) 앞의 식(2)와 식(10)에 의하여 주파수와 해저 퇴적층의 음향특성에 따른  $k_n, Un(z)$  변화로서 해저 퇴적층이 수층 음파 전달에 미치는 영향을 파악할 수 있다.

## 2. Depth-Amplitude Distribution

수층( $0 \leq z \leq H$ ) 밑에 있는 해저 퇴적층의 음속이 깊이( $z$ )에 따라 유사 선형적으로 증가하는

음속분포를 가정하면

$$C_H = C(z) \Big|_{z=H}$$

$$C(z) = C_H (1 - g(z-H))^{1/2} \dots\dots\dots(12)$$

$z > H$ ,  $g$  : 음속분포 상수  $> 0$

새로운 변수  $\xi_n$  의 치환으로

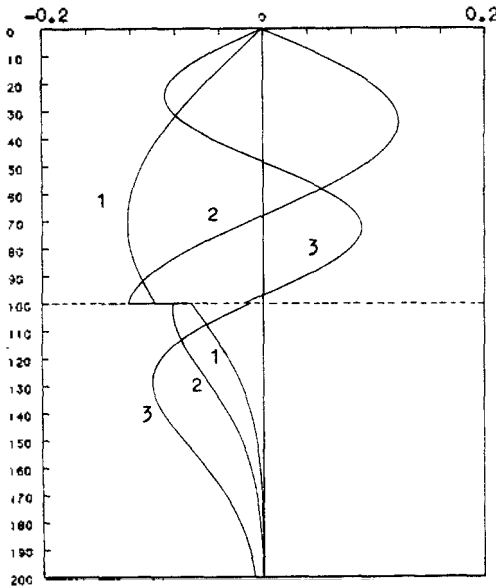
$$\xi_n = -K^{-2/3} [K_H^2 - k_n^2 - M(z-H)], \dots\dots\dots(13)$$

$$M = K_H^2 g, \quad K_H = \omega / C_H, \quad z > H$$

식 (3)의 2차 미분방정식은 다음의 형태로 나타  
난다.

$$\frac{d^2 U_n}{d \xi_n^2} - \xi_n U_n = 0 \dots\dots\dots(14)$$

이의 일반 해는 Airy function<sup>3)</sup> 의 선형 결합  
결합으로 표시되며, 파동수적 Radiation Con-  
dition( $U_n(z \rightarrow \infty) = 0$ ) 에 의하여 이의 결합  
한 해는 다음과 같다.



그림(1). Normalized Eigenfunctions  
 $U_1(z), U_2(z), U_3(z)$   
Frequency : 60 Hz

$$U_n(z) \approx Ai(\xi_n) \dots\dots\dots(15)$$

그리하여 수층 ( $0 \leq z \leq H$ ) 에서의 수직적 음향 환  
경 변화를 포함하여 결정되는 Eigenvalue 의  
크기에 따라

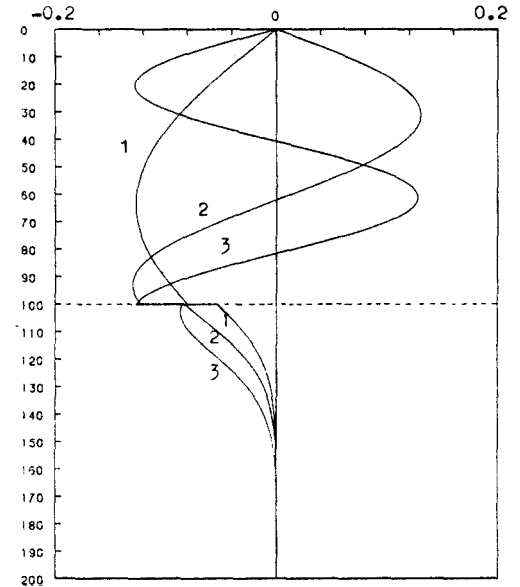
$$\frac{\omega}{C_{min}} > k_1 > k_2 \dots\dots > k_n \dots\dots(16)$$

Mode Number 를 부여하면  $n^{th}$  Mode 의  
Eigenfunction  $U_n(z)$  는 Airy function 의 특성  
에 의하여 그림 (1), (2)에서 보는 바와 같이 특  
징적인 Depth-Amplitude Distribution 을 가진다.

즉, Airy function 의 근사식은 다음의 형태로  
표현되며

$$Ai(\xi_n) \approx \pi^{1/2} (-\xi_n)^{-1/4} \sin\left(\frac{2}{3} (-\xi_n)^{3/2} + \frac{\pi}{4}\right), \quad \xi_n < 0 \dots\dots\dots(17)$$

$$Ai(\xi_n) \approx \frac{1}{2} \pi^{-1/2} \xi_n^{-1/4} \exp\left(-\frac{2}{3} \xi_n^{3/2}\right), \quad \xi_n > 0 \dots\dots\dots(18)$$



그림(2). Normalized Eigenfunctions  
 $U_1(z), U_2(z), U_3(z)$   
Frequency : 120 Hz

이에 따라  $Un(z)$  는 주파수와 음속분포, Eigenvalue 의 함수로서  $k_n=0$  인 Turning Depth ( $Z_{TD}$ ) 를 경계로 해수면으로부터

$$Z_{TD} = (K_H^2 g)^{-1} \cdot (K_H^2 - k_n^2) + H \dots (19)$$

수심( $z$ ) 에 따라 Oscillation 또는 Exponentially decrease 함을 알 수 있다. 따라서 식 (18) 에 의하여  $Z_{TD}$  에 대한 파동함수의 크기가 임의의 층분리 작은 값  $\tau$  에 접근하는 수직거리 ( $Z_{HD}$ ) 로서

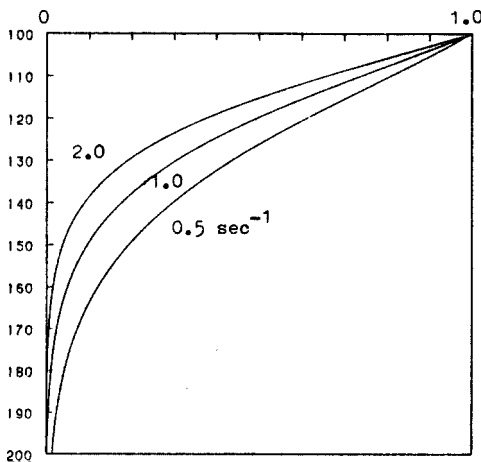
$$\frac{Un(Z_{HD})}{Un(Z_{TD})} \leq \tau, \quad \tau < 10^{-3} \dots (20)$$

$$Z_{HD} = (K_H^2 g)^{-1/3} \cdot (\frac{2}{3} \ln \tau^{-1})^{2/3} \dots (21)$$

수층을 포함하는 전체 음향 환경에서 매지오계면 ( $Z=H$  으로부터의 Penetration Depth 는 다음과 같다.

$$Z_{PD} = Z_{TD} + Z_{HD} - H \dots (22)$$

따라서 수층에서 진행되는 음파가 퇴적층에 침투하는 깊이 ( $Z_{PD}$ ) 는 퇴적층에서의 음속분포상수 ( $g$ ) 의 크기에 반비례하고 저주파일수록 깊어진다.



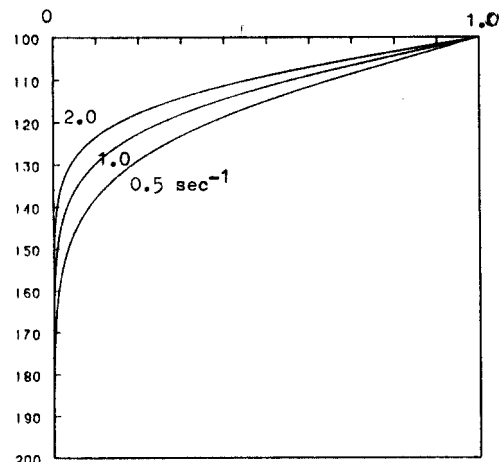
그림(3). Relative amplitude distributions of  $U_1(z)/U_1(z_{sed})$  With respect to sound velocity gradient in sediment. Water depth 100m, Frequency 60Hz

Eigenvalue 의 분포로부터 Higher Mode 입수부 커짐을 알 수 있다. 그리하여 이들 각 Mode 의 결합으로 나타나는 음파전달 양상은 Highest Mode 로서 최대, Lowest 1st Mode 로서 최소범위의 Sediment Penetration Depth 를 가지며 수층을 진행하게 된다.

주파수 (Hz)	Mode No.	Eigenvalue $k_n$	$\gamma_n$	$(20 \log e) \cdot \sigma_n$ dB/Km	$Z_{TD}-H$ (m)	$Z_{HD}$ (m)
15	1	0.0607	0.4144	0.622	51	275
30	1	0.1241	0.1994	0.598	19	173
60	1	0.2503	0.0871	0.522	6	109
	2	0.2470	0.2664	1.598	26	109
120	1	0.5021	0.0343	0.412	2	69
	2	0.5001	0.1003	1.204	8	69
	3	0.4967	0.2020	2.424	18	69
240	1	1.0050	0.0120	0.288	0	42
	2	1.0039	0.0382	0.917	2	42
	3	1.0020	0.0684	1.642	5	42
	4	0.9993	0.1083	2.599	9	42

표(1). Low Attenuation Mode Characteristics ;

수심 100m, 음속기울기  $1.0 \text{ s}^{-1} (g=1.3 \cdot 10^{-3} \text{ m}^{-1})$   
Attenuation Constant  $\beta = 0.1 (\text{dB/Km/Hz})$ ,  $\tau = 10^{-3}$



그림(4). Relative amplitude distributions of  $U_1(z)/U_1(z_{sed})$  With respect to sound velocity gradient in sediment. Water depth 100m, frequency 120Hz

### 3. Long Range Propagation

회절층에 의한 감쇠를 고려하면 ( $E_1 = 0$ ) 앞의 식 (10)과 그림(7), (2)로부터 Higher Mode 입수율 수평방향으로의 음압감쇠 ( $e^{-\delta \cdot n^2}$ )는 커져 쉽게 소멸된다.

F. Ingenito<sup>4)</sup>, R.H.Ferris<sup>5)</sup> 등은 음향 실험으로 Mode 간의 상호 간섭, 전단수도 차이 등에 의하여 원거리까지 진행하는 1st 또는 2nd Mode 를 분리하고 수층에서의 수직 음압분포를 추정하여 이를 확인하였다.

본 연구에서는 원거리를 진행하는 음파가 해저 퇴적층과 상호 작용하는 깊이에 대한 정량적 추측의 일례로서 등음속분도 (1500m/sec)인 수층과 표층음속이 같고 음속 기울기가 있는 거의 무한대에 걸친 해저 퇴적층 (Sediment Half Space) 을 가정하고, 전산 프로그램을 이용하여 경계 조건을 만족하는 Eigenvalue  $k_n$  의 함수로서 퇴적층에서의 Depth - Amplitude Distribution  $Un(z)$  을 분석하였다. 그리하여 앞의 표(1)과 그림(7), (2) 그리고 식(9), (10), (19), (27)에 의하여 해저 퇴적층에서의 밀도가  $1.5 \text{ g/Cm}^3$ , 음속 기울기가  $1.0 \text{ s}^{-1}$  인 경우 수평거리와 따른 감쇠와  $Z_{TD}$ ,  $Z_{HD}$  에 관한 계산으로부터 감쇠가 주어 원거리를 진행하는 1st, 2nd, Mode 에 의한 Sediment Penetration Depth 는 대체로 음속에 대한 파장의 4-5배 정도로 추출되었으며 그림(3), (4)로부터 음속 기울기에 따른 변화량을 알 수 있다.

### 결 론

본 연구에서는 음원의 주파수와 해저 퇴적층에서의 음속분포 등 음향 환경에 의하여 Discrete Normal Mode 외 합으로 표현되는 저주파 음파가 수층을 진행 할 때 각 Mode 외 감쇠, Depth - Amplitude 분포를 분석하여 원거리까지 진행하는 1st Mode 로서 Minimum Penetration Depth 를 추출하였다.

실제 해저 퇴적층은 이의 종류 (Sediment Type) 에 따라 표층상대음속, 음속 기울기, 밀도, 음감쇠율 등이

상호 관련성을 가진다. 따라서 상호 관련된 음향 변수들에 대하여 전체적인 음향 환경 변화에 의한 퇴적층에서의 수직음압분포를 분석함으로써 주파수에 따라 최소한의 오차로서 음파 전단 손실을 계산할 수 있는 퇴적층 탐사 방법을 추정할 수 있다고 하겠다.

### 참 고 문 헌

1. F. Ingenito, "Measurements of mode attenuation coefficients in shallow water", JASA 53, 858-862, (1973)
2. E.L. Hamilton, "Sound attenuation as a function of depth in the sea floor", JASA 59, 528-535, (1976)
3. Handbook of Mathematical Functions, edited by M. Abramowitz and I.A. Stegun [Natl. Bur. Stand. (U.S.), Washington, DC, 1965], pp 446 - 478
4. See Ref. 2
5. R.H. Ferris, "Comparison of measured and calculated normal-mode amplitude functions for acoustic waves in shallow water", JASA 52, 981-987, (1972)
6. A. Williams, "Hidden Depths: Acceptable ignorance about ocean bottoms", JASA 59, 1175-1179, (1976)
7. K.C. Focke, "Acoustic attenuation in ocean sediments found in shallow water regions", (ARL-TR-64-6), Applied Research Laboratories, The University of Texas at Austin.
8. E.L. Hamilton, "Sound velocity gradient in marine sediments", JASA 65, 909-922, (1979)
9. I. Tolstoy and C.S. Clay, Ocean Acoustics (McGraw-Hill, New York, 1966)